

НАУЧНО-ТЕХНИЧЕСКИЙ РАЗДЕЛ

УДК 534.08;620.175.5

Приближенное аналитическое определение вибродиагностических параметров упругого тела с трещиной при субгармоническом резонансе. Сообщение 2. Сильный резонанс

В. В. Матвеев, О. А. Бовсуновский

Институт проблем прочности им. Г. С. Писаренко НАН Украины, Киев, Украина

С использованием представленного в сообщении 1 подхода рассматривается приближенный расчет параметров колебательного процесса упругого тела с закрывающейся трещиной в области сильного субгармонического резонанса порядка 1/2, когда амплитуда низшей гармоники спектра свободных колебаний больше основной амплитуды вынужденных колебаний.

Ключевые слова: нелинейные колебания, субгармонический резонанс, вибродиагностика усталостного повреждения.

Введение. С использованием ранее [1] предложенного подхода рассматривается приближенный расчет параметров колебательного процесса упругого тела с закрывающейся трещиной в области сильного субгармонического резонанса порядка 1/2, когда амплитуда возникающих свободных колебаний больше амплитуды основных вынужденных колебаний.

Методика расчета. Пренебрегая, как и ранее [1], некоторым различием между формами колебаний упругого тела с трещиной на полувращениях разного знака, вынужденные колебания эквивалентной одномассовой нелинейной системы описываются дифференциальным уравнением

$$\frac{d^2 u}{dt^2} + 2h \frac{du}{dt} + \omega^2 [1 - 0,5\alpha(1 + \operatorname{sign} u)]u = q_0 \sin vt. \quad (1)$$

Здесь ω – собственная частота рассматриваемой формы колебаний неповрежденного тела; α – параметр, интегрально характеризующий относительное изменение жесткости тела при наличии открытой трещины,

$$\alpha = \frac{K - K_T}{K}, \quad K_T < K, \quad (2)$$

где K – жесткость неповрежденного тела, соответствующая жесткости тела с закрывающейся трещиной (в данном случае при $u < 0$); K_T – жесткость тела при открытой трещине ($u > 0$).

Собственная частота тела с закрывающейся трещиной принимается равной [2]

$$\omega_0 = \frac{2\sqrt{1-\alpha}}{1+\sqrt{1-\alpha}} \omega. \quad (3)$$

Полагая, что при $\nu \approx 2\omega_0$ кроме основной гармоники вынужденных колебаний возникают колебания со спектром гармонических составляющих свободных колебаний, определенным ранее асимптотическим методом нелинейной механики [3], решение уравнения (1) в области субгармонического резонанса отыскиваем в виде [1]

$$u(t) = A_0 + A_{1/2} \sin\left(\frac{\nu t}{2} - \gamma_{1/2}\right) + A_1 \sin(\nu t - \gamma_1) + \sum_{n=2,4,\dots} A_n \cos n\left(\frac{\nu t}{2} - \gamma_{1/2}\right), \quad (4)$$

где

$$A_0 = \frac{\alpha}{\pi} A_{1/2}; \quad A_n = (-1)^{\frac{n}{2}+1} \frac{2\alpha}{\pi(n^2-1)^2} A_{1/2}. \quad (5)$$

Для нахождения неизвестных параметров $A_{1/2}$ и $\gamma_{1/2}$ с использованием ранее [1] описанного подхода подставим решение (4) в уравнение (1), потребовав его выполнения в моменты времени t_i , когда знак перемещения $u(t_i)$, определяющий значение упругой характеристики, известен. Для рассматриваемого сильного субгармонического резонанса ($A_{1/2} > A_1$) в качестве таких моментов времени примем:

$$\begin{aligned} \nu t'_1 &= 2\beta + 2\gamma_{1/2}; & \nu t'_2 &= 2\pi + (2\beta + 2\gamma_{1/2}); \\ \nu t''_1 &= 2\pi - (2\beta - 2\gamma_{1/2}); & \nu t''_2 &= 4\pi - (2\beta - 2\gamma_{1/2}). \end{aligned} \quad (6)$$

Этим моментам (6) на гармонике с половинной частотой вынужденных колебаний соответствуют показанные на рис. 1 точки $1', 1'', 2', 2''$. Значение угла β в (6) соответствует условию $A_{1/2} \sin \beta > A_1$ и может выбираться в интервале $\beta_0 \leq \beta \leq \pi/2$, где β_0 отвечает условию $A_{1/2} \sin \beta = A_1$.

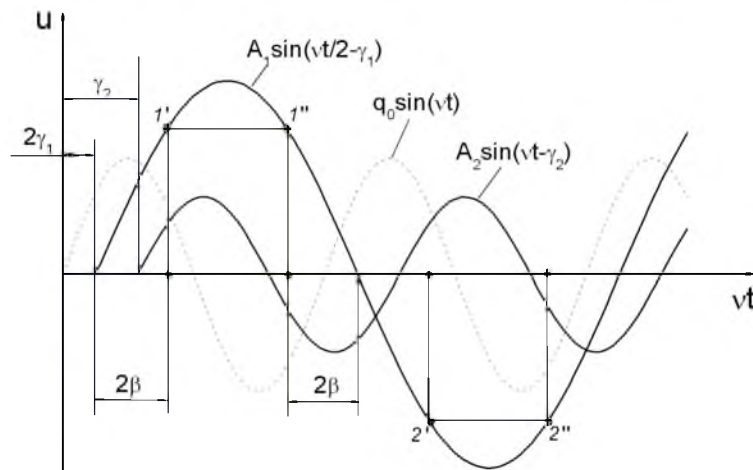


Рис. 1. Основные гармоники колебательного процесса.

Как видно, согласно принятому закону изменения жесткости точки I' и I'' , для которых $u > 0$, определяют значение частоты свободных колебаний $(1-\alpha)\omega^2$, точки $2'$ и $2'' - \omega^2$ (рис. 1).

Подставляя решение (4) для выбранных моментов времени (6) в уравнение (1), получаем две пары исходных уравнений:

$$\left[\begin{aligned}
 & (1-\alpha)A_0 + \left[\left[(1-\alpha) - \frac{1}{4} \left(\frac{v}{\omega} \right)^2 \right] \sin \beta + \right. \\
 & + \sum_{n=2,4,\dots} (-1)^{\frac{n}{2}+1} \frac{2\alpha}{\pi(n^2-1)^2} \left[(1-\alpha) - \frac{1}{4} \left(\frac{nv}{\omega} \right)^2 \right] \cos n\beta \pm \\
 & \left. \pm \frac{vh}{\omega^2} \left[\cos \beta - \sum_{n=2,4,\dots} (-1)^{\frac{n}{2}+1} \frac{2\alpha n}{\pi(n^2-1)^2} \sin n\beta \right] \right\} A_{1/2} \pm \\
 & \pm \left\{ \left[(1-\alpha) - \left(\frac{v}{\omega} \right)^2 \right] [\sin 2\beta \cos \Delta\gamma \pm \cos 2\beta \sin \Delta\gamma] + \right. \\
 & \left. + 2 \frac{vh}{\omega^2} [\cos 2\beta \cos \Delta\gamma \mp \sin 2\beta \sin \Delta\gamma] \right\} A_1 = \\
 & = \pm \frac{q_0}{\omega^2} (\sin 2\beta \cos 2\gamma_{1/2} \pm \cos 2\beta \sin 2\gamma_{1/2}); \quad (1'), (1'') \quad (7) \\
 & A_0 - \left\{ \left[1 - \frac{1}{4} \left(\frac{v}{\omega} \right)^2 \right] \sin \beta - \sum_{n=2,4,\dots} (-1)^{\frac{n}{2}+1} \frac{2\alpha}{\pi(n^2-1)^2} \left[1 - \frac{1}{4} \left(\frac{nv}{\omega} \right)^2 \right] \cos n\beta \mp \right. \\
 & \left. \mp \frac{vh}{\omega^2} \left[\cos \beta + \sum_{n=2,4,\dots} (-1)^{\frac{n}{2}+1} \frac{2\alpha n}{\pi(n^2-1)^2} \sin n\beta \right] \right\} A_{1/2} \pm \\
 & \pm \left\{ \left[1 - \left(\frac{v}{\omega} \right)^2 \right] [\sin 2\beta \cos \Delta\gamma \pm \cos 2\beta \sin \Delta\gamma] + \right. \\
 & \left. + 2 \frac{vh}{\omega^2} [\cos 2\beta \cos \Delta\gamma \mp \sin 2\beta \sin \Delta\gamma] \right\} A_1 = \\
 & = \pm \frac{q_0}{\omega^2} (\sin 2\beta \cos 2\gamma_{1/2} \pm \cos 2\beta \sin 2\gamma_{1/2}), \quad (2'), (2'')
 \end{aligned} \right.$$

где

$$\Delta\gamma = 2\gamma_{1/2} - \gamma_1. \quad (8)$$

Для удобства анализа уравнения (7) дополнительно пронумерованы в соответствии с обозначением точек на рис. 1. При этом верхние знаки относятся к уравнениям (1'), (2'), нижние – к уравнениям (1''), (2'').

Для усреднения тригонометрических функций угла β в интервале его возможного изменения $\beta_0 \dots \pi/2$ заменим их средними значениями:

$$\begin{aligned} (\sin \beta)_{\text{cp}} &= \frac{2 \cos \beta_0}{\pi - 2\beta_0}; & (\sin 2\beta)_{\text{cp}} &= \frac{1 + \cos 2\beta_0}{\pi - 2\beta_0}; \\ (\cos \beta)_{\text{cp}} &= \frac{2(1 - \sin \beta_0)}{\pi - 2\beta_0}; & (\cos 2\beta)_{\text{cp}} &= \frac{2 - \sin 2\beta_0}{\pi - 2\beta_0}. \end{aligned} \quad (9)$$

Учитывая малость амплитуд высших гармоник ($n > 2$) спектра свободных колебаний, в уравнениях (7) будем принимать во внимание только вторую гармонику, амплитуда которой равна $2\alpha/9\pi$. Тогда, рассматривая алгебраическую сумму уравнений $[(1') + (1'')] - [(2') + (2'')]$, находим относительную амплитуду низшей гармоники $\bar{A}_{1/2} = A_{1/2}/A_1$:

$$\bar{A}_{1/2} = \frac{\alpha(2 - \sin 2\beta_0) \sin \Delta\gamma}{2 \left[(2 - \alpha) - \frac{1}{2} \left(\frac{\nu}{\omega} \right)^2 \right] \cos \beta_0 - \frac{\alpha^2}{\pi} [\pi - 2\beta_0 + 0,22222(2 - \sin 2\beta_0)]}, \quad (10)$$

а алгебраическую сумму уравнений $[(1') - (2')] - [(1'') - (2'')] -$

$$\bar{A}_{1/2} = \frac{\alpha(1 + \cos 2\beta_0) \cos \Delta\gamma}{4(1 - \sin \beta_0) \frac{\nu h}{\omega^2}}. \quad (11)$$

Приравняв выражения (10) и (11), получаем формулу для определения разности сдвига фаз (8):

$$\begin{aligned} \text{tg} \Delta\gamma &= \frac{1 + \cos 2\beta_0}{4(1 - \sin \beta_0)(2 - \sin 2\beta_0) \frac{\nu h}{\omega^2}} \times \\ &\times \left\{ 2 \left[(2 - \alpha) - \frac{1}{2} \left(\frac{\nu}{\omega} \right)^2 \right] \cos \beta_0 - \frac{\alpha^2}{\pi} [\pi - 2\beta_0 + 0,22222(2 - \sin 2\beta_0)] \right\}. \end{aligned} \quad (12)$$

Для использования приведенных выражений необходимо знать величину β_0 , удовлетворяющую условию $\sin \beta_0 \approx A_1/A_{1/2}$.

Рассмотрим предварительно приведенные выражения при $\beta_0 = 0$:

$$\bar{A}_{1/2} = \frac{2\alpha \sin \Delta\gamma}{2 \left[(2 - \alpha) - \frac{1}{2} \left(\frac{\nu}{\omega} \right)^2 \right] - 1,141741\alpha^2} \equiv \frac{\alpha \cos \Delta\gamma}{2 \frac{h\nu}{\omega^2}}; \quad (13)$$

$$\operatorname{tg} \Delta \gamma = \frac{2 \left[(2 - \alpha) - \frac{1}{2} \left(\frac{\nu}{\omega} \right)^2 \right] - 1,141741 \alpha^2}{4 \frac{h\nu}{\omega^2}} \quad (14)$$

Задавшись значениями α и $h/\omega = \delta/2\pi$ (δ – логарифмический декремент свободных колебаний), для случая настроенного субрезонанса $\nu/\omega = 4\sqrt{1-\alpha}/(1+\sqrt{1-\alpha})$ с использованием формул (13), (14) определяем значения $\Delta\gamma$ и $\bar{A}_{1/2}$. Зная приближенную величину $\bar{A}_{1/2}$, определяем значение $\beta_0 = \arcsin(1/\bar{A}_{1/2})$ и затем опять находим $\Delta\gamma$ с помощью (12) и $\bar{A}_{1/2}$ – по (10) или (11). Для дальнейшего уточнения значения $\bar{A}_{1/2}$ необходимо вновь определить β_0 из условия, что $\sin \beta_0$ равен найденной величине $\bar{A}_{1/2}$, и т.д.

Результаты расчета. Расчетные зависимости относительной амплитуды $\bar{A}_{1/2}(\alpha)$, полученные по формулам (13), (14) при $\nu = 2\omega_0$ для различных значений логарифмического декремента колебаний δ , приведены на рис. 2, на рис. 3 – зависимости $\bar{A}_{1/2}(\delta)$ для различных значений параметра α . В качестве примера на рис. 2 для значений $\delta = 0,01$ и $0,005$ штрихпунктирными линиями показаны зависимости $\bar{A}_{1/2}(\alpha)$, полученные с использованием (10) и (11) при определении величин β_0 из условия $\beta_0 \approx \arcsin(1/\bar{A}_{1/2})$. Как видно, на практике допустимо использовать выражения (13), что значительно упрощает расчеты.

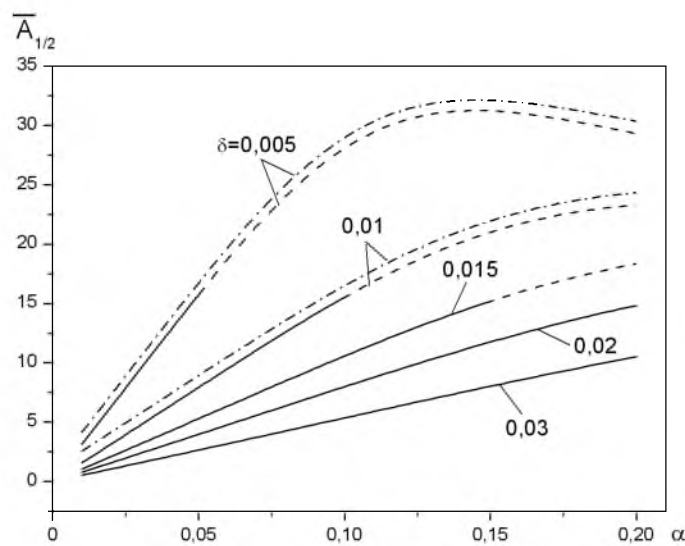


Рис. 2. Зависимость относительной амплитуды низшей гармоники $\bar{A}_{1/2}$ от параметра α , полученная с использованием формул (13), (14) – сплошные и штриховые линии и (10), (11), (12) при определении значения β_0 из условия $\sin \beta_0 \approx \arcsin(1/\bar{A}_{1/2})$ – штрихпунктирные линии, при частоте возбуждения $\nu = 2\omega_0$ для различных значений логарифмического декремента колебаний.

При отношении $\alpha/\delta \leq 10$ относительная амплитуда $\bar{A}_{1/2}$ оказывается прямо пропорциональна значению α при данной величине δ и обратно

пропорциональна δ при данном α . Эти области значений $\bar{A}_{1/2}$ показаны на рис. 2 сплошными линиями.

Анализ полученных результатов показывает, что для случая настроенного резонанса при значениях $\alpha/\delta < 10$ зависимости $\bar{A}_{1/2} = f(\alpha, \delta)$ удовлетворительно описываются, как и в случае слабого резонанса, единой формулой

$$\bar{A}_{1/2} = \frac{\pi \alpha}{2 \delta} \quad (15)$$

при том же значении коэффициента пропорциональности.

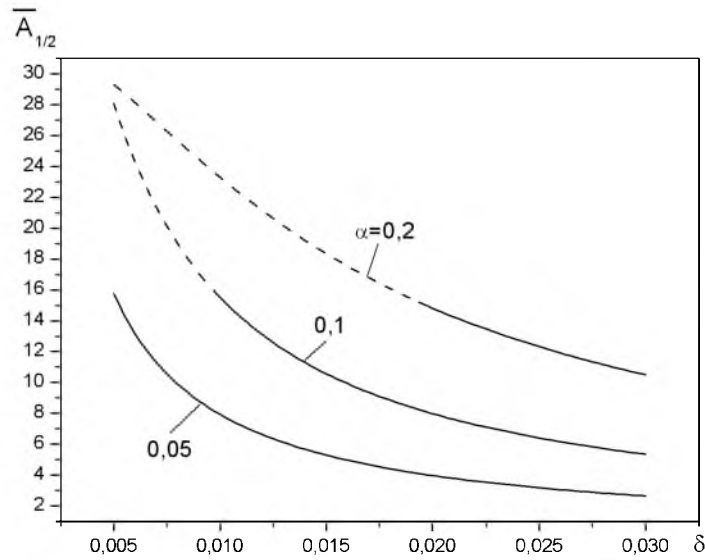


Рис. 3. Зависимость относительной амплитуды нижней гармоники $\bar{A}_{1/2}$ от величины логарифмического декремента колебаний δ , полученная с использованием формул (13), (14) для различных значений параметра α .

Для определения относительной амплитуды нижней гармоники $\bar{A}_{1/2}$ при субгармоническом резонансе применительно к конкретному элементу конструкции необходимо определить параметр α , который зависит от вида, относительных размеров и месторасположения трещины нормального отрыва, относительных размеров и форм колебаний конструктивного элемента. Например, для стержней прямоугольного поперечного сечения с одной красной поперечной трещиной параметр α определяется по формуле [4]

$$\alpha = \frac{D(h/l, x_T)H_1(\gamma)}{1 + D(h/l, x_T)H_1(\gamma)}$$

Здесь

$$D(h/l, x_T) = 2\pi \frac{bh^2 S_1 P^2(x_T)}{l \int_0^2 P^2(x) dx}; \quad H_1(\gamma) = \int_0^\gamma \gamma F_1^2(\gamma) d\gamma,$$

где $P(x)$ – осевое усилие при продольных колебаниях и изгибающий момент при изгибных колебаниях стержня; S_1 – площадь поперечного сечения при продольных колебаниях и осевой момент инерции при изгибных колебаниях; S_2 – площадь поперечного сечения при продольных колебаниях и осевой момент сопротивления при изгибных колебаниях; b и h – ширина и высота поперечного сечения стержня; l – длина стержня; x_T – координата сечения с трещиной; γ – относительная глубина трещины; $F_1(\gamma)$ – безразмерная функция относительной глубины трещины, входящая в выражения для определения коэффициента интенсивности нормальных напряжений.

С использованием приведенных в [5] данных о функции $F_1(\gamma)$ при продольных колебаниях получим

$$H_1(\gamma) = 0,6272\gamma^2 - 0,17248\gamma^3 + 5,92134\gamma^4 - 10,70538\gamma^5 + 31,56845\gamma^6 - \\ - 67,47602\gamma^7 + 139,12342\gamma^8 - 146,6824\gamma^9 + 92,35521\gamma^{10},$$

при изгибных –

$$H_1(\gamma) = 0,6295\gamma^2 - 1,0472\gamma^3 + 4,602\gamma^4 - 9,9752\gamma^5 + 20,2948\gamma^6 - \\ - 32,9933\gamma^7 + 47,0408\gamma^8 - 40,6933\gamma^9 + 19,6\gamma^{10}.$$

Значение функции $D(h/l, x_T)$ зависит от относительной высоты поперечного сечения стержня (h/l), месторасположения трещины (x_T), формы колебаний (i) стержня, и, например, для консольного стержня при продольных колебаниях определяется по выражению

$$D(h/l, x_T) = 4 \frac{\pi h}{l} \cos^2 \left[\frac{\pi(2i-1)}{2l} x_T \right],$$

при изгибных –

$$D(h/l, x_T) = 24 \frac{\pi h}{l} \left[S(k_i x_T) - \frac{S(k_i l)}{T(k_i l)} T(k_i x_T) \right]^2,$$

где $S(kx)$, $T(kx)$ – функции Крылова,

$$S(kx) = \frac{(\operatorname{ch} kx + \cos kx)}{2}; \quad T(kx) = \frac{(\operatorname{sh} kx + \sin kx)}{2};$$

$$k_1 l = 1,875; \quad k_2 l = 4,694; \quad k_3 l = 7,855;$$

для $i > 3$ имеем

$$k_i l = \frac{\pi(2i-1)}{2l}.$$

Функция $D(h/l, x_T)$ для исследуемой формы колебаний стержня, данных значений h/l и x_T – величина постоянная, и характер зависимости относительной амплитуды $\bar{A}_{1/2}$ от относительной глубины трещины будет определяться зависимостью значения функции $H_1(\gamma)$ от γ и может существенно отличаться от линейной.

С использованием выражений (10)–(12) или (13), (14) могут быть получены амплитудно-частотные и фазочастотные характеристики исследуемой системы в области субгармонического резонанса.

В качестве примера на рис. 4 приведены указанные зависимости для $\alpha = 0,08$ и $\delta = 0,02011$. Для сравнения там же штрихпунктирной линией показана амплитудно-частотная зависимость для области основного резонанса. Зависимости приведены в относительных координатах $\bar{A} = \bar{A}_{1/2}(\nu)/\bar{A}_{1/2}(\nu = 2\omega_0)$ и $\bar{\nu} = \nu/2\omega_0$ для субгармонического резонанса и $\bar{A} = A(\nu)/A(\nu = \omega_0)$ и $\bar{\nu} = \nu/\omega_0$ для основного резонанса.

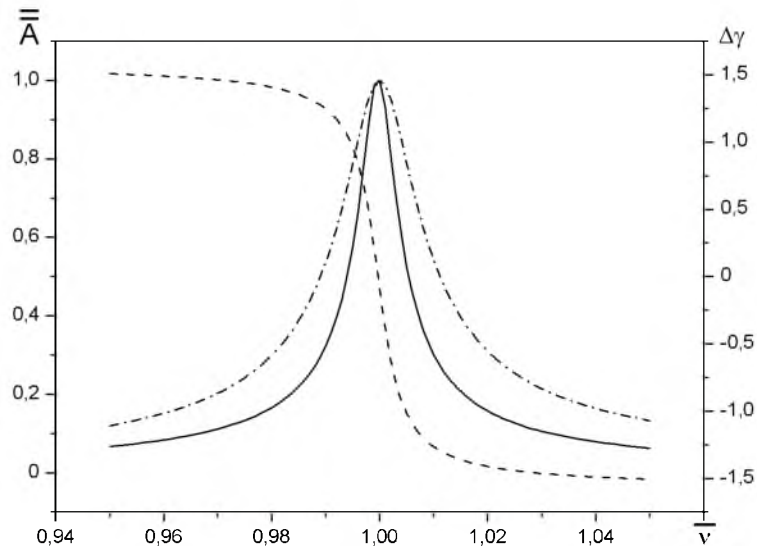


Рис. 4. Амплитудно-частотная (сплошная линия) и фазочастотная (штриховая линия) зависимости в области субгармонического резонанса, определенные с использованием формул (13), (14), при $\alpha = 0,08$ и $\delta = 0,02011$.

Оценка достоверности методики. Для оценки достоверности результатов расчета проводилось их сравнение с данными численного решения, полученного методом усреднения по ускорению [6, 7].

На рис. 5 для случая настроенного субгармонического резонанса при $\delta = 0,00503$ приведена расчетная зависимость относительной амплитуды низшей гармоники от α , полученная по формуле (13) и по данным численного решения. Как видно, для $\alpha < 0,1$, что соответствует отношению $\alpha/\delta < 20$, наблюдается достаточно удовлетворительное их соответствие. При этом подтверждается наличие в области указанных значений α/δ практически линейной зависимости относительной амплитуды низшей гармоники от параметра α с несколько отличающимся от расчетного коэффициентом пропорциональности.

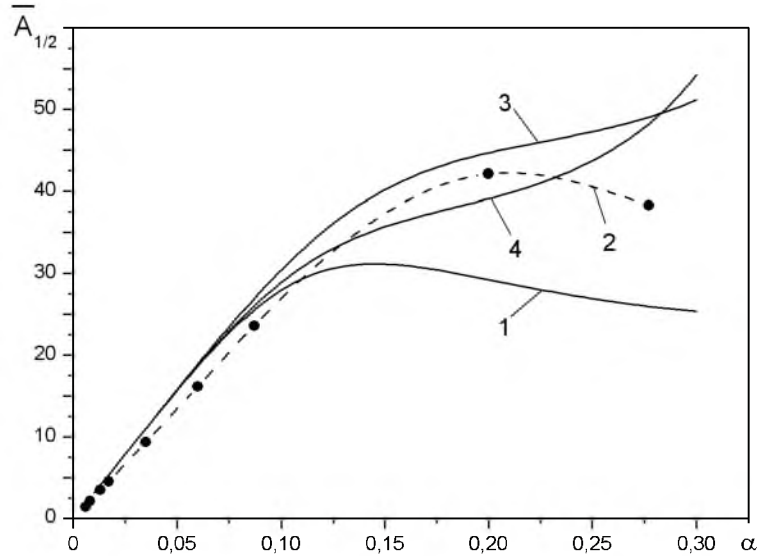


Рис. 5. Зависимость относительной амплитуды низшей гармоники при субгармоническом резонансе от параметра α при $\delta = 0,00503$: 1 – по формуле (13); 2 – по данным численного решения; 3 – по формуле (13) при значении коэффициента при $\alpha^2 = 1$; 4 – при значении коэффициента, равном $(2 - \alpha)/2 + 0,141471$.

Однако с увеличением параметра α расхождение между результатами аналитического и численного решений существенно возрастает. Это можно, по-видимому, объяснить возможным изменением относительной амплитуды гармоники $A_2 \cos 2(\nu t/2 - \gamma_{1/2})$ при больших значениях α . Так, принимая $A_2 = 0$, что обуславливает в формулах (13), (14) замену коэффициента 1,141471 при α^2 на 1,0, получаем зависимость, показанную на рис. 5 кривой 3. Возможно также изменение значения постоянной составляющей с увеличением параметра α . Так, принимая вместо $A_0 = A_{1/2}\alpha/\pi$ значение $A_0 = A_{1/2}\alpha(2 - \alpha)/2\pi$ [1], что определяет значение коэффициента при α^2 равным $0,141471 + (2 - \alpha)/2$, получаем зависимость $\bar{A}_{1/2}(\alpha)$ – на рис. 5 кривая 4. Такое объяснение вполне логично, так как значения постоянной составляющей A_0 и амплитуды A_2 второй гармоники в спектре свободных колебаний получены [3] асимптотическим методом нелинейной механики, предполагающим малое значение параметра α .

Для оценки изменения характера зависимости относительной амплитуды $\bar{A}_{1/2}$ при переходе от параметра α к относительной глубине трещины γ на рис. 6 в качестве примера для случая $\delta = 0,00503$ приведены зависимости $\bar{A}_{1/2}$ от α и γ . Исходную расчетную кривую 1 определяли по формуле (13) с использованием (14), кривую 2 – по данным численного решения. Для кривых 3, 4 данные о соотношении α и γ взяты для случая продольных колебаний стержня прямоугольного поперечного сечения, $h/l = 0,13333$ и $x_T/l = 0,2$ [8].

Анализ данных численного решения при других значениях логарифмического декремента колебаний δ показывает, что для области стабильных значений относительной амплитуды $\bar{A}_{1/2}$, больших единицы, также под-

тверждаются результаты представленного приближенного расчета при отношении $\alpha/\delta < 20$. Амплитуда $\bar{A}_{1/2}$ прямо пропорциональна значению α при данной величине δ и обратно пропорциональна ей при данном значении α . Более того, численное решение удовлетворительно описывается единой зависимостью $\bar{A}_{1/2} = K\alpha/\delta$ с коэффициентом пропорциональности $K \cong 1,34$, что на 14,7% меньше расчетного.

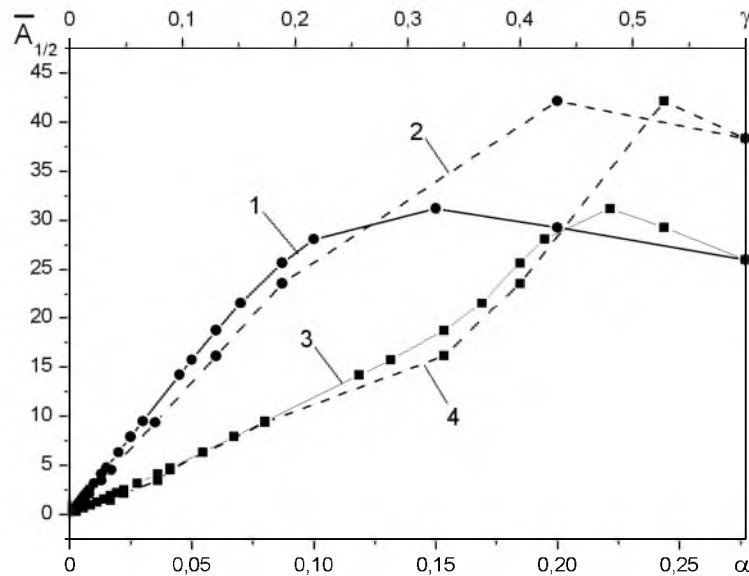


Рис. 6. Зависимость относительной амплитуды нижней гармоники $\bar{A}_{1/2}$ при субгармоническом резонансе от параметра α (1, 2) и относительной глубины трещины γ (3, 4), полученная путем расчета (1, 3) и по данным численного решения (2, 4).

Определение абсолютных значений амплитуды и сдвига фаз отдельных гармоник. Как и ранее [1, 2], полагаем, что амплитуда основной гармоники $A_1 \sin(\nu t - \gamma_1)$ соответствует решению вынужденных колебаний линейной системы с собственной частотой тела с закрывающейся трещиной (3):

$$\frac{A_i}{q_0} = \frac{1}{\omega_0^2 \sqrt{\left[1 - \left(\frac{\nu}{\omega_0}\right)^2\right]^2 + \frac{1}{4} \left(\frac{\delta}{\pi}\right)^2 \left(\frac{\nu}{\omega_0}\right)^2}}, \quad (16)$$

а сдвиг фазы γ_1 определяется из баланса подводимой ΔW_q и поглощаемой ΔW_h энергий за цикл колебаний с периодом $2\pi/\omega_0$.

Для рассматриваемого случая моногармонического возбуждения и вязкого трения имеем

$$\Delta W_q = \pi q_0 \left(\sin \gamma_1 - \frac{2\alpha}{9\pi} \bar{A}_{1/2} \cos 2\gamma_{1/2} \right) A_1; \quad (17)$$

$$\Delta W_h \approx 2\pi h \nu \left\{ 1 + \frac{1}{4} [1 + 0,02\alpha^2] \bar{A}_{1/2}^2 \right\} A_1^2. \quad (18)$$

В выражении (18) в отличие от случая слабого резонанса, когда $A_{1/2} < A_1$, учитывается также вторая гармоника спектра свободных колебаний $2\alpha A_{1/2} \cos(\nu t - 2\gamma_{1/2})/9\pi$, обуславливая появление слагаемого $0,02\alpha^2$.

Из условия $\Delta W_q = \Delta W_h$ при учете (16) и (8), (14) получаем уравнение для определения γ_1 :

$$\begin{aligned} (1 - 0,07074\alpha \sin \Delta\gamma) \sin \gamma_1 - 0,07074\alpha \cos \Delta\gamma \cos \gamma_1 = \\ = 2h\nu \left[1 + \frac{(1 + 0,02\alpha^2) \bar{A}_{1/2}^2}{4} \right] \frac{A_1}{q_0}, \end{aligned}$$

где A_1/q_0 вычисляем из формулы (16). Зная $\Delta\gamma$ и γ_1 согласно (8) определяем значение $\gamma_{1/2} = (\Delta\gamma + \gamma_1)/2$.

Выводы

1. Рассмотрен приближенный метод расчета параметров колебательного процесса упругого тела с закрывающейся трещиной, моделируемого одно-массовой системой с несимметричной билинейной характеристикой восстанавливающей силы, в области сильного субгармонического резонанса порядка 1/2.

2. Получены аналитические выражения для определения в области субгармонического резонанса основного вибродиагностического параметра наличия трещины – относительной амплитуды низшей гармоники $\bar{A}_{1/2}$ спектра колебаний.

3. Результаты расчета вибродиагностического параметра $\bar{A}_{1/2}$ удовлетворительно согласуются с данными численного решения для значений $\alpha/\delta < 20$.

4. Установлено, что для отношения $\alpha/\delta \leq 10$ относительная амплитуда низшей гармоники $\bar{A}_{1/2}$ прямо пропорциональна параметру нелинейности колебательной системы α и обратно пропорциональна логарифмическому декременту колебаний системы δ .

5. С достаточной для практики точностью зависимость $\bar{A}_{1/2}(\alpha, \delta)$ удовлетворительно описывается единой формулой $\bar{A}_{1/2} = \frac{\pi \alpha}{2 \delta}$.

Резюме

Из використанням запропонованого в повідомленні 1 підходу розглядається наближений розрахунок параметрів коливального процесу пружного тіла з тріщиною, що закривається, в області сильного субгармонічного резонансу порядку 1/2, коли амплітуда нижчої гармоніки спектра вільних коливань більша за основну амплітуду вимушених коливань.

1. *Матвеев В. В., Бовсуновский О. А.* Приближенное аналитическое определение вибродиагностических параметров упругого тела с трещиной при субгармоническом резонансе. Сообщ. 1. Слабый резонанс // Пробл. прочности. – 2008. – № 2. – С. 26 – 40.
2. *Матвеев В. В.* Приближенное аналитическое определение вибродиагностических параметров нелинейности упругих тел, обусловленных наличием закрывающейся трещины. Сообщ. 1. Существующие и предлагаемые методы решения // Там же. – 2004. – № 4. – С. 5 – 20.
3. *Матвеев В. В.* К анализу эффективности метода спектральной вибродиагностики усталостного повреждения элементов конструкций. Сообщ. 1. Продольные колебания, аналитическое решение // Там же. – 1997. – № 6. – С. 5 – 20.
4. *Матвеев В. В., Бовсуновский А. П.* К анализу эффективности метода спектральной вибродиагностики усталостного повреждения элементов конструкций. Сообщ. 3. Аналитическое и численное определение собственных частот продольных и изгибных колебаний стержней с поперечными трещинами // Там же. – 1999. – № 4. – С. 19 – 31.
5. *Справочник по коэффициентам интенсивности напряжений: В 2 т. / Пер. с англ. под ред. Ю. Мураками.* – М.: Мир, 1990. – 488 с.
6. *Бовсуновский А. П., Матвеев В. В.* Особенности колебаний упругих тел, обусловленные наличием локальных повреждений типа усталостных трещин // Надежность и долговечность машин и сооружений. – 2006. – Вып. 26. – С. 26 – 30.
7. *Бовсуновский А. П.* Сравнительный анализ нелинейных резонансов механической системы с несимметричной кусочно-линейной характеристикой восстанавливающей силы // Пробл. прочности. – 2007. – № 2. – С. 72 – 87.
8. *Матвеев В. В., Бовсуновский А. П.* К анализу эффективности метода спектральной вибродиагностики усталостного повреждения элементов конструкций. Сообщ. 4. Анализ искажения гармоничности цикла колебаний стержневых элементов при наличии закрывающихся поперечных трещин // Там же. – 2000. – № 1. – С. 5 – 12.

Поступила 24. 11. 2006